

ГЕОЛОГИЯ

УДК 550.93+552.93 (470.21)

ВОЗРАСТ РЕДКОМЕТАЛЬНЫХ ПЕГМАТИТОВ МЕСТОРОЖДЕНИЯ  
ВАСИН-МЫЛЬК (КОЛЬСКИЙ РЕГИОН): РЕЗУЛЬТАТЫ  
ГЕОХРОНОЛОГИЧЕСКОГО U–Pb-ИССЛЕДОВАНИЯ МИКРОЛИТА

© 2015 г. Н. М. Кудряшов, Л. М. Лялина, Е. А. Апанасевич

Представлено академиком РАН Ф.П. Митрофановым 17.07.2013 г.

Поступило 12.08.2013 г.

DOI: 10.7868/S0869565215100205

Редкометальные пегматиты распространены на всех континентах от раннего докембра до палеозоя. Основная масса пегматитов принадлежит к архейским и протерозойским породам. Характерная особенность редкометальных пегматитов – их приуроченность к докембрийским зеленокаменным поясам [1]. Важная задача при изучении редкометальных пегматитов – установление их генетической связи с гранитами, если таковая имеется, и определение времени рудной минерализации. Ответы на эти вопросы связаны с изотопно-геохронологическими исследованиями, направленными на установление времени формирования родоначальных для пегматитов гранитов и непосредственно самих пегматитов.

Месторождение расположено в пределах зеленокаменного пояса Колмозеро–Воронья, который приурочен к центральной части сутурной зоны, отделяющей Мурманский домен от Центрально-Кольского и Кейвского доменов. Пояс сложен осадочно-вулканогенными породами с коматиит-толеитовой и базальт-андезит-дацитовой сериями неоархейского возраста 2.9–2.7 млрд лет. Эти породы прорваны интрузиями базит-гипербазитов, кварцевых порфиров и высокомагнеziальных гранитоидов с возрастом 2.8–2.7 млрд лет. Массивы турмалиновых и микроклиновых гранитов вместе с гранитными и редкометальными пегматитами интрудируют все эти комплексы пояса, завершая его эволюцию.

До настоящего времени не существует общепринятой точки зрения относительно генетической принадлежности пегматитов к определенным гранитам в пределах Кольского региона. Разные авторы предполагают связь пегматитов с плагиогранитами и тоналитами [2], амфиболиботовыми гранодиоритами [3], микроклиновыми гранитами [4] и турмалиновыми гранитами

[5]. Возраст пегматитов, выделяемых в пределах пояса, по имеющимся определениям U–Pb-методом по монациту и изохронным Rb–Sr-методом по валовым пробам 2.7–2.6 млрд лет [6]. Полученный позднее изохронный Pb–Pb-возраст турмалина (шерл) из массива турмалиновых гранитов, расположенного вблизи месторождения,  $2520 \pm 70$  млн лет [7].

Пегматитовое поле месторождения Васин-Мыльк с продуктивной ассоциацией лепидолит–альбит–микроклин–сподумен–поллукит расположено среди амфиболитов в северо-западной части пояса [8]. Незначительные по размеру участки выходов пегматитов на поверхность прослежены на глубину при прохождении шурfov и скважин. Месторождение представлено субпараллельными пологими зональными жилами до 220 м при мощности 5 м и падением  $10^\circ$ – $30^\circ$  ЮВ (рис. 1).

Среди разнообразных минералов, часто представленных в исследуемых пегматитах несколькими генерациями, к наиболее ранним относятся минералы группы колумбита–танталита, микролит, симпсонит, а также торолит, минералогия и геохимия которых изложены в [4, 9]. Микролит характеризуется внутрифазовой неоднородностью, высокими содержаниями U, Pb, Cs, Sb и др. [9].

Для изотопно-геохронологического U–Pb-исследования (TIMS) использован микролит из пробы пегматитов (KV-19), взятой из отвалов шурфа Ш-9/3. Микролит представлен идиоморфными кристаллами октаэдрического габитуса размером 0.5–1.0 мм в ребре (рис. 2а). Минерал буровато-коричневый, полупрозрачный. При исследованиях внутреннего строения выявлена внутрифазовая неоднородность микролита: темные участки неправильной формы образованы при посткристаллизационных процессах изменения минерала, вероятно, при его метамиктизации. Этот вывод подтверждается повышенной трещиноватостью, характер которой (разная мощность и разно-

Геологический институт Кольского научного центра Российской Академии наук, Апатиты Мурманской обл.  
E-mail: nik@geoksc.apatity.ru

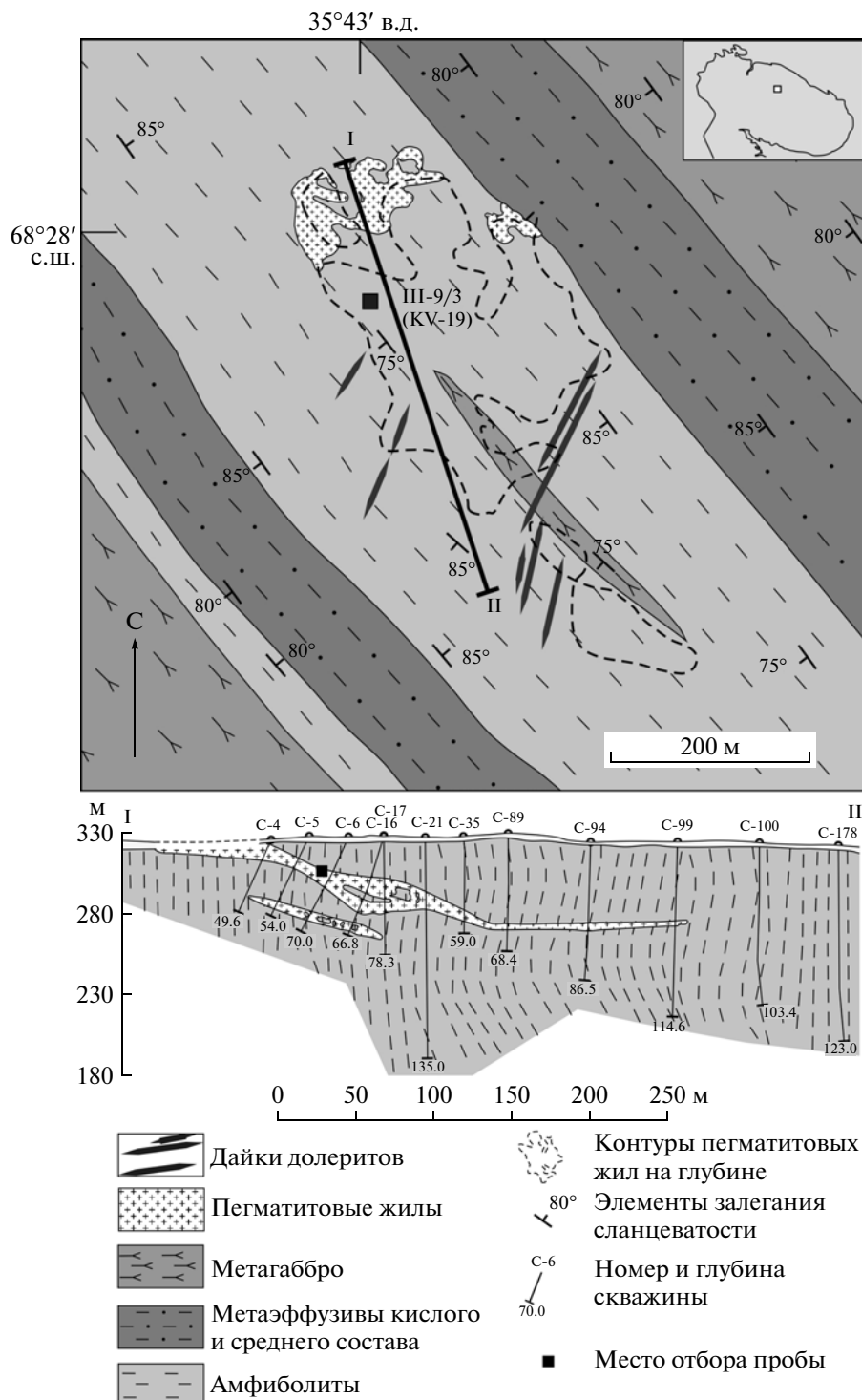


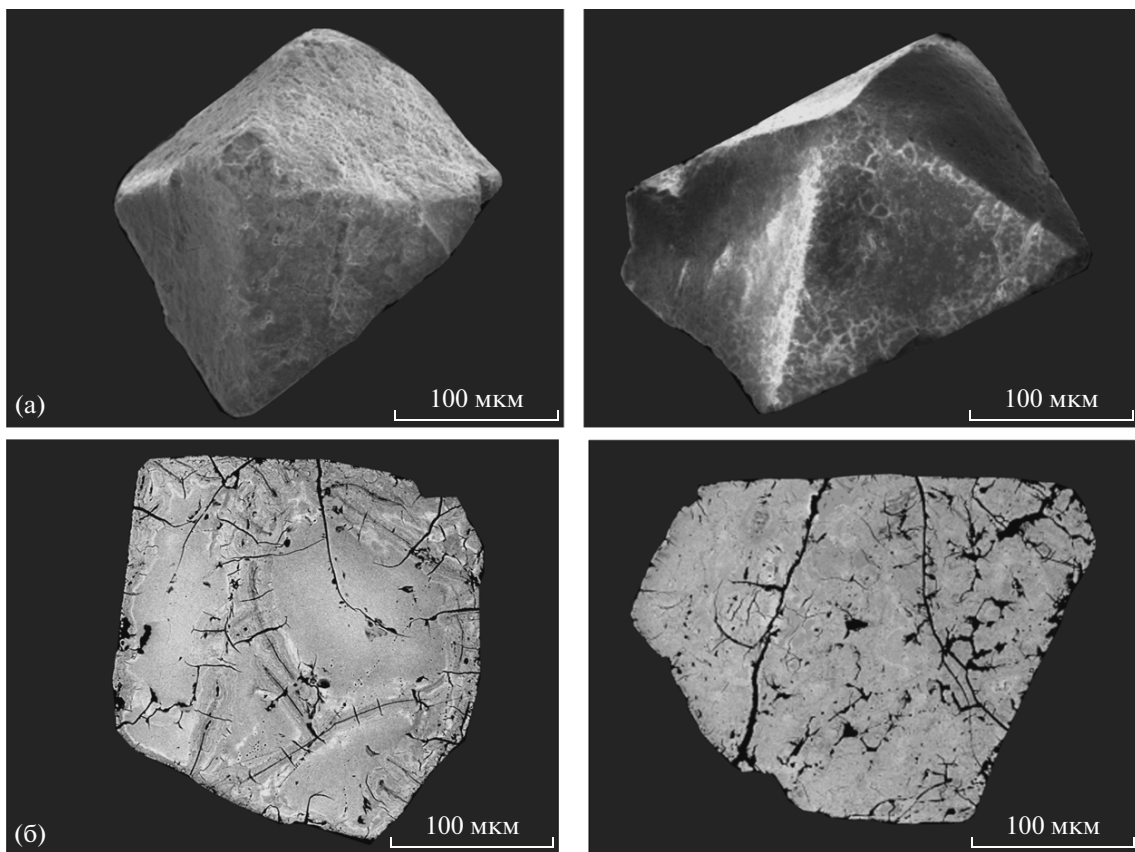
Рис. 1. Схематическая геологическая карта и разрез редкометального пегматитового месторождения Васин-Мыльк [8].  
Врезка – местоположение участка.

ориентированность) указывает на изменение объема вещества (рис. 2б).

Исследования химического состава микролита выполнены на микроанализаторе Cameca MS-46. Условия анализов: ускоряющее напряжение 22 кВ (31 кВ для Pb, U), ток электронного зонда 20–

40 нА. В качестве эталонов были использованы минералы и синтетические соединения: волластонит (Ca), лоренценит (Na), металлы (Nb, Ta, U), галенит (Pb),  $\text{LiDy}(\text{WO}_4)_2$  (W).

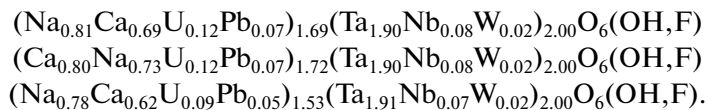
Для микрозондовых анализов микролита выбраны наименее измененные участки кристаллов –



**Рис. 2.** Микрофотографии кристаллов микролита из редкометальных пегматитов месторождения Васин-Мыльк.  
а – в режиме вторичных электронов; б – в режиме отраженных электронов (РЭМ LEO 1450).

светлые, однородные, без трещин. Кристаллохимические формулы рассчитали, исходя из полного заполнения позиции  $B = 2$  в теоретической формуле

минералов группы пирохлора  $A_{2-m}B_2X_{6-w}Y_{1-n}$ , где  $A = \text{Na}, \text{Ca}, \text{U}, \text{Pb}\dots$ ;  $B = \text{Ta}, \text{Nb}, \text{W}, \text{Ti}\dots$ ,  $X = \text{O}$ ;  $Y = \text{OH}, \text{F}\dots$  [10]:



Разложение микролита и химическое выделение Pb, U проведено по [11]. Уровень холостого опыта за период исследования не превышал 80 пг для Pb и 40 пг для U. Определения изотопного состава Pb, U выполнены на масс-спектрометрах МИ1201-Т и Finnigan MAT 262 в статическом режиме или с помощью электронного умножителя. Все изотопные отношения исправлены на масс-дискриминацию, аналитические погрешности в U/Pb составляли 0.5%. Обработку экспериментальных данных проводили по программам “PB-DAT”, “ISOPLT”. При расчете использовали принятые значения констант распада U [13].

Для геохронологических U–Pb-исследований навески составляли примерно 5–10 полупрозрачных и наименее трещиноватых зерен размером 100–300 мкм. Внешние поверхностные загрязне-

ния кристаллов были предварительно удалены при помощи ультразвуковой ванны УЗВ-7, в которую помещали кристаллы микролита в растворе 7N HNO<sub>3</sub>. Дискордия, построенная для семи измеренных навесок микролита, имеет верхнее пересечение с конкордией  $2454 \pm 8$  млн лет, СКВО 2.5, нижнее пересечение  $89 \pm 69$  млн лет отвечает современным потерям Pb. Степень дискордантности аналитических данных для двух навесок зерен микролита размером менее 100 мкм (KV-19/6, KV-19/7) составила менее 5% (табл. 1; рис. 3.) Таким образом, полученное значение возраста отвечает времени кристаллизации микролита и, вероятно, связанного с ним тантал-ниобиевого оруденения.

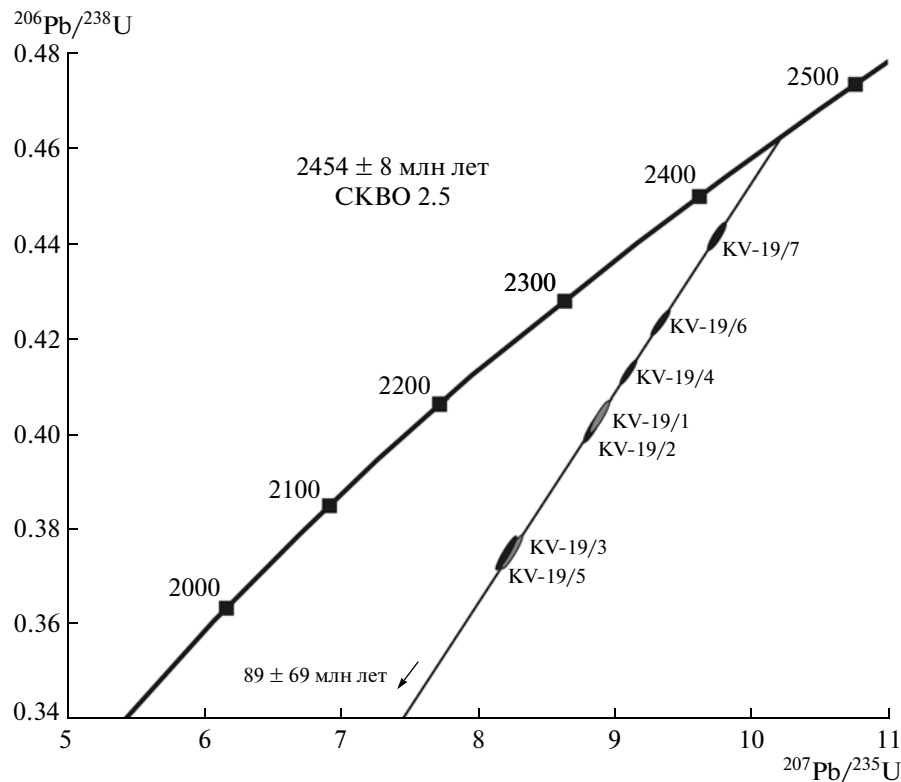
**Таблица 1.** Результаты изотопных U–Pb-исследований микролита из редкометальных пегматитов месторождения Васин-Мыльк

№ обр./ № фракции	Размер фракции, мкм навеска, мг	Содержание, %		Изотопные отношения		
		Pb	U	$^{206}\text{Pb}/^{204}\text{Pb}^*$	$^{207}\text{Pb}/^{206}\text{Pb}^*$	$^{208}\text{Pb}/^{206}\text{Pb}^*$
KV-19/1	+250; 1.0	0.78	1.85	1203	$0.1696 \pm 1$	$0.04191 \pm 2$
KV-19/2	-250 + 150; 0.9	1.58	3.73	1017	$0.1715 \pm 1$	$0.03879 \pm 4$
KV-19/3	+250; 0.8	1.75	4.44	1200	$0.1696 \pm 2$	$0.03361 \pm 3$
KV-19/4	-200 + 150; 0.8	1.78	4.12	1195	$0.1696 \pm 1$	$0.02946 \pm 2$
KV-19/5	250 + 150; 0.5	1.56	3.99	1288	$0.1687 \pm 1$	$0.03049 \pm 2$
KV-19/6	-100; 0.7	1.60	3.59	1098	$0.1711 \pm 2$	$0.03358 \pm 3$
KV-19/7	-100; 0.6	2.19	4.79	1768	$0.1668 \pm 1$	$0.02626 \pm 5$
№ обр./ № фракции	Изотопные отношения		<i>Rho</i>	Возраст, млн лет		
	$^{206}\text{Pb}/^{238}\text{U}$	$^{207}\text{Pb}/^{235}\text{U}$		$^{206}\text{Pb}/^{238}\text{U}$	$^{207}\text{Pb}/^{235}\text{U}$	$^{207}\text{Pb}/^{206}\text{Pb}$
KV-19/1	$0.4040 \pm 12$	$8.874 \pm 27$	0.95	$2187 \pm 7$	$2325 \pm 7$	$2448 \pm 2$
KV-19/2	$0.4024 \pm 16$	$8.834 \pm 35$	0.97	$2180 \pm 9$	$2321 \pm 9$	$2448 \pm 2$
KV-19/3	$0.3754 \pm 18$	$8.245 \pm 41$	0.97	$2055 \pm 10$	$2258 \pm 11$	$2448 \pm 2$
KV-19/4	$0.4138 \pm 12$	$9.085 \pm 27$	0.97	$2232 \pm 7$	$2347 \pm 7$	$2448 \pm 1$
KV-19/5	$0.3753 \pm 11$	$8.229 \pm 25$	0.96	$2054 \pm 6$	$2257 \pm 7$	$2445 \pm 1$
KV-19/6	$0.4240 \pm 13$	$9.338 \pm 37$	0.94	$2279 \pm 7$	$2372 \pm 9$	$2453 \pm 2$
KV-19/7	$0.4417 \pm 9$	$9.731 \pm 19$	0.86	$2358 \pm 5$	$2410 \pm 5$	$2453 \pm 2$

Примечание. \* Значения исправлены на масс-фракционирование, холостое загрязнение и обыкновенный Pb по [12]; все погрешности приведены на уровне  $2\sigma$  и соответствуют последним значащим цифрам после запятой.

Исходя из полученного U–Pb-возраста микролита, наиболее вероятными материнскими гранитами для редкометальных пегматитов месторождения Васин-Мыльк могли служить турмали-

новые граниты с возрастом  $2520 \pm 70$  млн лет [7]. Возрастные характеристики, полученные для большинства других известных в пределах региона пластигранитов, микроклиновых гранитов,



**Рис. 3.** Диаграмма с конкордией для микролита из редкометальных пегматитов месторождения Васин-Мыльк.

амфибол-биотитовых гранодиоритов, отвечают более раннему времени 2.7–2.6 млрд лет [6, 7]. Несмотря на возрастную близость исследуемых пегматитов и турмалиновых гранитов, для более корректного отнесения последних к материнским породам необходимы дополнительные минералогические и геохимические исследования, поскольку достаточно часто разрыв во времени между гранитами и пространственно ассоциирующими с ними пегматитами может быть около десятков и более миллионов лет [14]. В наибольшей степени это характерно для полей с редкометальной специализацией, в меньшей степени – с редкометально-редкоземельной. Для подобных образований, имеющих значительный разрыв во времени, предлагается выделять самостоятельный пегматитовый этап в истории магматизма пегматитоносных структур [14].

Авторы благодарят А.В. Волошина, Т.Б. Баянову за критические замечания при проведении данного исследования, Я.А. Пахомовского – за определения состава микролита, Е.А. Селиванову – за проведение рентгеноструктурного анализа.

Работа выполнена при финансовой поддержке программы № 4 ОНЗ РАН.

## СПИСОК ЛИТЕРАТУРЫ

1. Редкометальные пегматиты. Гранитные пегматиты. Т. 2 / Под ред. Б.М. Шмакина. Новосибирск: Наука, 1997. 286 с.
2. Гинзбург А.И., Тимофеев И.Н., Фельдман Л.Г. Основы геологии гранитных пегматитов. М.: Недра, 1979. 296 с.
3. Масленников В.А. Стратиграфия свит Полмос и Порос // Тр. ЛАГЕД АН СССР. 1963. В. 15. С. 69–72.
4. Соседко А.Ф. Материалы по геологии и геохимии гранитных пегматитов. М.: Госгеолтехиздат, 1961. 152 с.
5. Гордиенко В.В. Минералогия, геохимия и генезис сподуменовых пегматитов. Л.: Недра, 1970. 240 с.
6. Пушкирев Ю.Д., Кравченко Э.В., Шестаков Г.И. Геохронологические реперы докембрия Кольского полуострова. Л.: Наука, 1978. 136 с.
7. Кудряшов Н.М., Гавриленко Б.В., Ананасевич Е.А. В сб.: Геология и полезные ископаемые Северо-Запада и Центра России. Материалы X Молодеж. конф. К. Кратца. Апатиты, 1999. С. 66–70.
8. Пожиленко В.И., Гавриленко Б.В., Жиров Д.В., Жабин С.В. Геология рудных районов Мурманской области. Апатиты: Изд-во КНЦ РАН, 2002. 359 с.
9. Волошин А.В., Пахомовский Я.А. Минералогия tantala и ниобия в редкометальных пегматитах. Л.: Наука, 1988. 240 с.
10. Atencio D., Andrade M.B., Christy A.G., et al. // The Canad. Mineral. 2010. V. 48. P. 673–698.
11. Krogh T.E. // Geochim. et cosmohim. acta. 1973. V. 37. P. 485–494.
12. Stacey J.S., Kramers J.D. // Earth and Planet. Sci. Lett. 1975. V. 26. № 2. P. 207–221.
13. Steiger R.H., Jäger E. // Earth and Planet. Sci. Lett. 1977. V. 36. № 3. P. 359–362.
14. Zagorsky V.Ye. // Estudios Geol. 2009. V. 19. № 2. P. 365–369.